

## مطالعه پتروگرافی و ریزبافتی گرانیتوئیدهای دگریخت شده سیاه منصور در شمال‌شرق میانه استان آذربایجان شرقی

رباب حاجی علی اوغلی<sup>۱\*</sup> و رقیه شکاری اسفهلان<sup>۲</sup>

۱- گروه علوم زمین، دانشکده علوم طبیعی، دانشگاه تبریز، تبریز

\*hajialioghli@tabrizu.ac.ir

پذیرش: ۹۴/۵/۲۹ دریافت: ۹۴/۱۱/۱۸

### چکیده

منطقه سیاه منصور در منتهی‌الیه جنوب‌شرقی رشته کوه بزقوش در زون البرز-آذربایجان واقع شده است. گرانیتوئیدهای مورد مطالعه در این منطقه بر اساس شواهد صحرایی، کانی‌شناسی و ژئوشیمیایی در دو گروه (الف) موسکوویت گرانیت و (ب) آلکالی گرانیتوئید دسته‌بندی شده‌اند. بروزد موسکوویت گرانیت محدود به دایک‌ها و رگه‌های موازی شیستوزیتی سنگ‌های دگرگونی می‌باشد. آلکالی گرانیتوئید از نوع استوک نفوذی بوده که سنگ‌های رسوی و آتشفسانی کرتاسه و اویسن را قطع کرده و بر این اساس سن آن به الیگوسن نسبت داده شده است. هر دو نوع گرانیتوئید تحت تاثیر تنش‌های برشی دچار دگرگشکلی با تغییرات واضح و تبلور مجدد شده و گرانیتوئید میلونیت در این ارتباط تشکیل شده‌اند. رگه‌های موسکوویت گرانیت با بیزگی پرآلومنیوس و A-type و غیرکوهزایی حاصل ذوب بخشی سنگ‌های دگرگونی می‌باشند. این سنگ‌ها با دگرگشکلی بسیار شدید همزمان با تکتونیک فعال جایگیری شده‌اند. توده آلکالی گرانیتوئیدی دارای منشاء گوشته‌ای، ماهیت متألومینیوس و A-type می‌باشد. در ارتباط با جایگیری استوک آلکالی گرانیتوئیدی بنظر می‌رسد گسل خوردگی و شکستگی‌های حاصل از حرکات کششی بعد از بسته شدن و برخورد نوتیسیس مرتبط با فاز کوهزایی آلپی ترشیاری در تشکیل آن تاثیرگذار بوده است. بدنبال این رخداد گرانیتوئیدی سیاه منصور مرتبط با پهنه مثلثی شکل تکتونیک خروج یا فرار در محل تقاطع گسل‌های جنوب بزقوش (گسل بناروان) و گرمی‌چای باشد.

**واژه‌های کلیدی:** پتروگرافی، ریزساختی، گرانیتوئید، سیاه منصور، میانه

**۱- مقدمه**  
تکتونیکی فعال در منطقه دگرگشکل شده‌اند. در این پژوهش ویژگی‌های صحرایی، پتروگرافی، ریزبافتی و ژئوشیمیایی گرانیتوئیدهای دگریخت شده سیاه منصور مورد بررسی قرار گرفته و جایگاه تکتونیکی و نحوه جایگیری آن‌ها در پوسته قاره‌ای منطقه تعیین شده است.

**روش پژوهش**  
در این مطالعه تعداد ۴۰ نمونه از سنگ‌های گرانیتوئیدی سیاه منصور به منظور مطالعات کانی‌شناسی و روابط بافتی مورد بررسی قرار گرفته و از این تعداد، ۱۱ نمونه جهت تجزیه شیمیایی به روش XRF و ICP-MS در شرکت Als-chemex کانادا مورد آنالیز قرار گرفت. علاوه بر احتصاری کانی‌ها در تصاویر پتروگرافی از [۱۶] است.

**زمین‌شناسی منطقه**  
منطقه سیاه منصور در منتهی‌الیه جنوب‌شرقی رشته کوه‌های بزقوش و شمال رشته کوه‌های چهل نور واقع

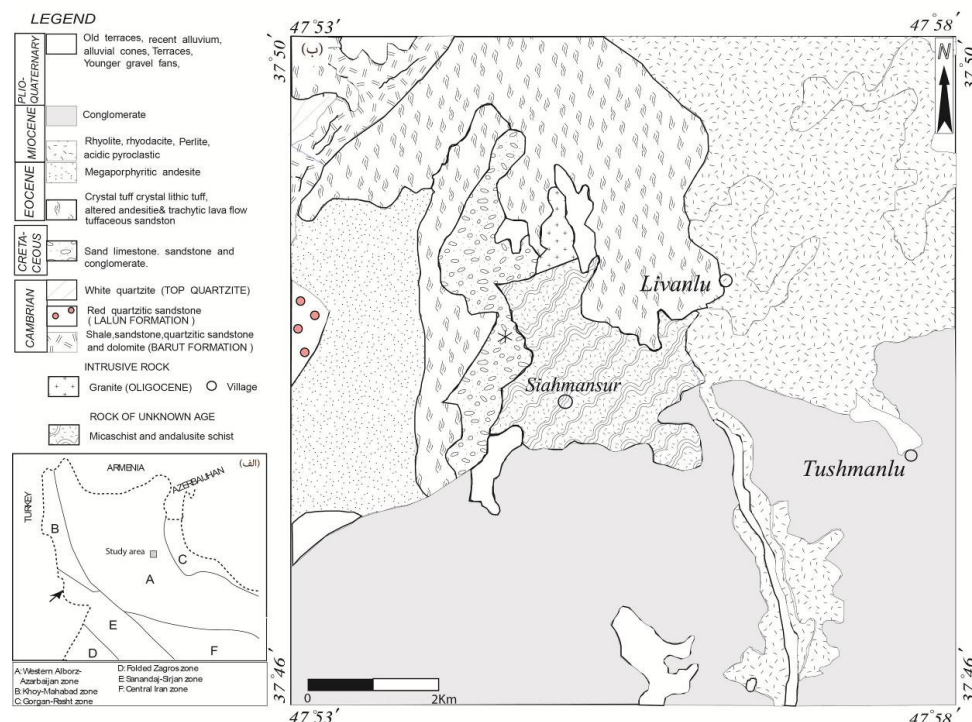
گرانیتوئیدهای برخوردی محصول اصلی نواحی برخوردی می‌باشند که بر اساس ارتباط زمانی آن‌ها با فاز اصلی دگرگشکلی به انواع (a) گرانیتوئیدهای همزمان با برخورد<sup>۱</sup> و (b) گرانیتوئیدهای بعد از برخورد<sup>۲</sup> تقسیم می‌شوند. مطالعات نشان داده است به لحاظ منشاء، عموماً گرانیتوئیدهای همزمان با برخورد اغلب در گروه گرانیتوئیدهای با منشاء پوسته‌ای دسته‌بندی می‌شوند در صورتی که گرانیتوئیدهای بعد از برخورد دارای منشاء گوشته‌ای غنی شده بوده که دامنه وسیعی از آلایش با مواد پوسته‌ای را نیز تجربه کرده‌اند [۱۸]. گرانیتوئیدهای مورد مطالعه در منطقه سیاه منصور شامل رگه‌های موسکوویت گرانیت و استوک آلکالی گرانیتوئیدی می‌باشد. هر دو نوع این گرانیتوئیدها تحت شرایط

<sup>1</sup> Syn-collision

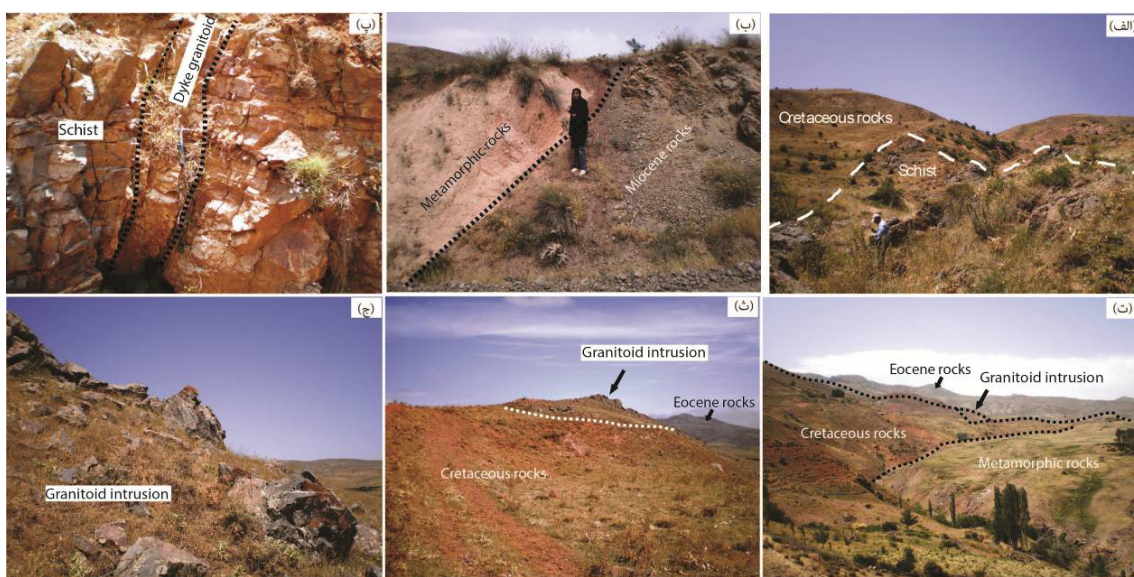
<sup>2</sup> post collision

موسکوویت گرانیت به ضخامت چندین سانتی‌متر به داخل شیست‌ها نفوذ کرده‌اند (شکل ۲پ). از فعالیت‌های ماقمایی پالثوسن تا ائوسن فوقانی در منطقه می‌توان به سنگ‌های آتشفشاری حد واسط تا بازیک اشاره کرد که به طور دگرشیب بر روی واحدهای قدیم‌تر واقع شده‌اند (شکل ۲پ). توده آلکالی گرانیتوئیدی شمال روستای سیاه منصور در ارتباط با فعالیت ماقمایی الیگوسن تشکیل شده است. ترکیب این توده به طور اصلی آلکالی گرانیت، گرانودیبوریت و در مقادیر کمتر کوارتزدیبوریت می‌باشد. نفوذ توده آلکالی گرانیتوئیدی به داخل سنگ‌های رسوی کرتاسه و سنگ‌های آتشفشاری ائوسن باعث دگرگونی مجاوری سنگ‌های دربرگیرنده شده است (شکل ۲ت-ج). سنگ‌های هورنفلسی با ترکیب رسی و آهکی بصورت محدود در حاشیه جنوبی این توده مشاهده می‌شود. هر دو نوع موسکوویت گرانیت و آلکالی گرانیتوئیدها تحت شرایط تکتونیکی فعالی و گسل خوردگی‌هایی که در منطقه وجود داشته چغار خردشده‌گی و تغییرات دگرشکلی شدید شده و گرانیتوئیدهای میلیونی در این ارتباط تشکیل شده است.

شده است. این منطقه بر اساس تقسیم‌بندی واحدهای زمین‌ساختی ایران بطور متفاوت جزئی از زون‌های ساختمانی البرز غربی-آذربایجان [۸] و ایران مرکزی [۱، ۱۲ و ۲۳] در نظر گرفته شده است (شکل ۱ الف). بروزند انواع سنگ‌ها در منطقه مورد مطالعه عبارتند از انواع سنگ‌های دگرگونی ناحیه‌ای (شامل انواع شیست‌های دارای موسکوویت، بیوتیت، آندالوزیت و کردیریت)، رسوی، آتشفشاری و گرانیتوئیدی (شکل ۱ب). سن سنگ‌های دگرگونی‌ها را با احتمال به پرکامبرین (؟) نسبت داده است و در نقشه‌های زمین‌شناسی ۱/۱۰۰۰۰ سراب [۲] و کیوی [۳] سن این دگرگونی‌ها به ترتیب نامشخص و قبل از کرتاسه عنوان شده است. شواهد صحرایی در منطقه نشان می‌دهد که این دگرگونی‌ها به طور ناهمساز توسط سنگ‌های کربناته و تخریبی کرتاسه پوشیده شده‌اند (شکل ۲ الف). همچنین در برخی جاهای این دگرگونی‌ها در ارتباط با راندگی‌های موجود در منطقه (گسل گرمی چای) با راستای شمالی - جنوبی بر روی واحدهای میوسن واقع شده‌اند (شکل ۲ب). دایک‌ها و رگه‌های



شکل ۱. (الف) موقعیت منطقه مورد مطالعه در تقسیم‌بندی واحدهای ساختاری ایران [۸]. (ب) نقشه زمین‌شناسی منطقه با اقتباس از نقشه زمین‌شناسی ۱/۱۰۰۰۰ سراب [۲]



شکل ۲. (الف) قرارگیری واحدهای کرتاسه بر روی سنگ‌های دگرگونی قدیمی، (ب) قرارگیری واحدهای دگرگونی بر روی واحدهای میوسن، (پ) دایک گرانیتیوئیدی در داخل شیسته‌ها، (ت) قرارگیری واحدهای آثوسن-الیگوسن بر روی واحدهای کرتاسه، (ث-ج) بروزند توده نفوذی گرانیتیوئیدی الیگوسن در شمال روستای سیاه منصور

فقط به صورت خط واره در روی عکس‌های هوایی قابل رديابي باشد.

**مطالعات پتروگرافی سنگ‌های آذرین درونی**

**الف- موسکوویت گرانیت:** موسکوویت گرانیت‌ها در منطقه مورد مطالعه به صورت رگه‌هایی به موازات شیستوزیته سنگ‌های دگرگونی تزریق شده و گاه آن‌ها را نیز قطع کرده‌اند. این سنگ‌ها تحت شرایط تکتونیکی فعال بهشت دگرگشکل شده و از این لحاظ می‌توان آن‌ها را گرانیت میلیونیت نیز نامید. موسکوویت با بلورهای کشیده و جهت‌یافته در مقادیر فراوان حضور داشته و در اثر تحمل فشار خمیدگی‌هایی در کلیواژها و بهطور کلی در شکل بلور ایجاد شده است. شکل ۴ الف خمیدگی شدید و پیچ و تاب‌خوردگی در موسکوویت را نشان می‌دهد. کانی‌های موسکوویت حدود ۳۰-۴۵ درصد مودال سنگ را تشکیل می‌دهند و به دو صورت درشت بلور و تجمعی از موسکوویت‌های ریز بلور در این سنگ‌ها حضور دارند (شکل ۴ ب). موسکوویت‌های ریز بلور در برخی نمونه‌ها پورفیربلاست‌ها را دور زده‌اند. بیوتیت به صورت دفرمه و دارای کلیواژ خمیده می‌باشد. کوارتز حدود ۳۰-۳۵ درصد و پلاژیوکلاز تقریباً ۲۵-۳۰ درصد مودال سنگ را تشکیل می‌دهند. کوارتز دانه ریز و با تبلور مجدد در زمینه این سنگ‌ها مشاهده می‌شود (شکل ۴ ب).

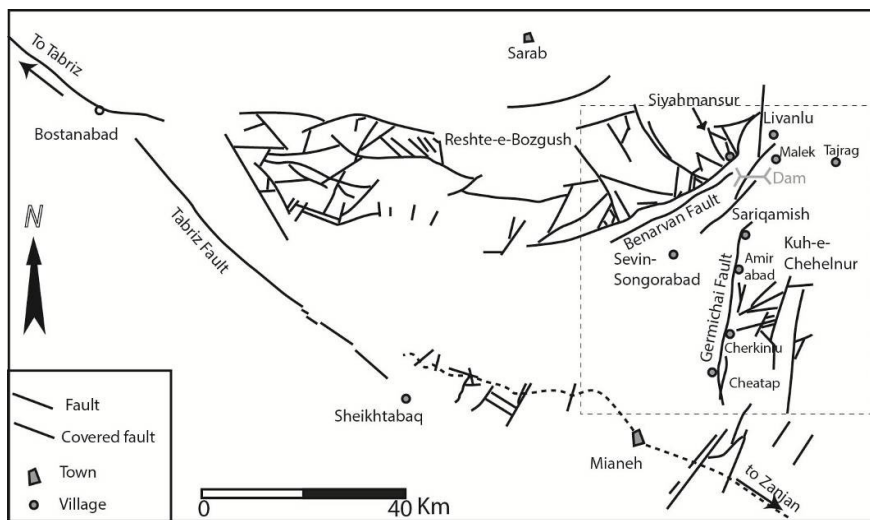
### تکتونیک منطقه

گسلش و چین‌خوردگی از مهم‌ترین ساختارهای دگرگیختی هستند که واحدهای سنگی منطقه سیاه منصور را تحت تأثیر قرار داده‌اند. گسل بناروان بخشی از گسل جنوبی رشته‌کوه بزقوش به طول حدود ۷۰ کیلومتر با راستای NE-SW و عملکرد معکوس فعل [۱۱] است (شکل ۳). گسل گرمی‌چای با ساز و کار چپگرد-معکوس (شکل ۳) یک عنصر ساختاری مهم دیگر در منطقه مورد مطالعه است که امروزه به طور فعل جبران کننده دگرگیختی قاره‌ای بین البرز غربی و رشته‌کوه بزقوش است. این گسل سبب راندگی به سوی غرب واحدهای سنگی الیگوسن بر روی واحدهای رسوبی نئوژن و هم‌چنین سبب دگرگیختی در بلوک‌های فرادیواره و فرودیواره گسلی شده است. ادامه این گسل به سمت شمال تا منطقه مورد مطالعه در شمال روستای سیاه منصور می‌رسد. در مطالعه حاضر بررسی عکس هوایی و شواهد مورفوتکتونیک نشان داد که گسل گرمی‌چای در جنوب روستای سیاه منصور کانال رودخانه را بریده<sup>۱</sup> و آن را به گونه چپگرد جابه‌جا کرده است. فراوانی زمین‌لغزش‌ها، نابرجا بودن واحدهای سنگ‌شناسی، جابه‌جایی و چرخش سطوح گسیختگی به سبب لغزش وزنی آن‌ها سبب شده که گسل گرمی‌چای

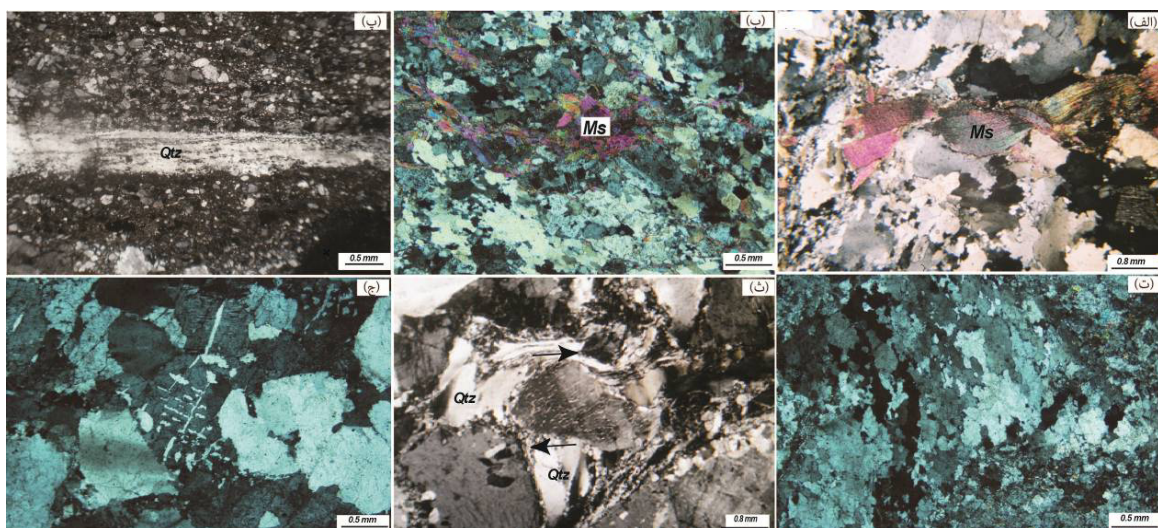
<sup>۱</sup> river offset

تشکیل می‌دهند. این کانی‌ها نیز در اثر دگر شکلی و نیروهای تکتونیکی خردشده‌گی و ترک‌خوردگی حاصل کرده‌اند. از کانی‌های ثانویه می‌توان به کانی‌های تیره با اشکال دندانیتی و نیز به رگچه‌های پرکننده شکستگی‌های پلازیوکلاز و پتاسیم فلدسپار اشاره کرد. بافت این سنگ‌ها خرده شده تا با تبلور مجدد می‌باشد. بافت‌های گرانوفیر و میرمکیت از دیگر بافت‌های فرعی در این سنگ‌ها می‌باشد (شکل ۴ج).

کوارتز هم‌چنین به صورت بلورهای با تبلور دوباره، حالت پیچ و تاب خورده با خاموشی موجی دیده می‌شود (شکل ۴ ت-ث). کانی‌های پلازیوکلاز تحت تأثیر عوامل تکتونیکی دچار شکستگی و جابه‌جایی شده که این شکستگی‌ها در مراحل بعدی توسط کانی‌های دانه ریز کوارتز پر شده است. خمیدگی ماکلی و ماکل مشبک نیز تحت همین شرایط در فلدسپات‌ها به وجود آمده‌اند. فلدسپارهای پتاسیم تقریباً ۱۵-۲۰ درصد مودال سنگ را



شکل ۳. نقشه گسل‌های منطقه با اقتباس از نقشه از نسبت ۱/۲۵۰۰۰ میانه [۵] با کمی تغییرات. مربع خط چین در سمت راست شکل، پراکنده‌گی گسل‌ها در منطقه سیاه منصور را نشان می‌دهد.

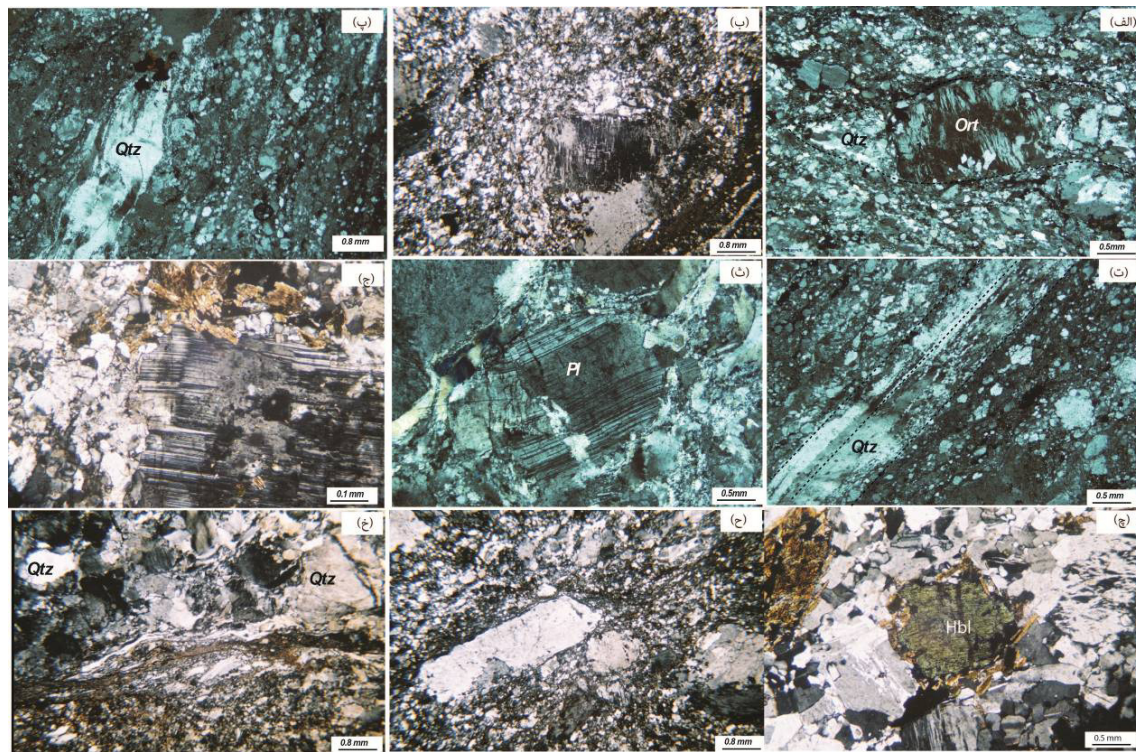


شکل ۴. پتروگرافی موسکوویت گرانیت: (الف) خمیدگی در موسکوویت (XPL)، (ب) موسکوویت‌های ریز بلور در متن دانه ریز سنگ (XPL)، (پ) کوارتز دانه ریز و با تبلور دوباره (XPL)، (ت) کوارتز با تبلور دوباره و چرخش روبانهای کوارتزی در اطراف پرفیروکلاست‌های فلدسپار (XPL)، (ث) چرخش بلوری در گرانیت تغییر شکل یافته (XPL)، (ج) بافت میرمکیت (XPL)

فلدسبار را پر کرده‌اند (شکل ۵ث). پلازیوکلاز با ماکل پلی‌سنتیک حدود ۱۰-۵ درصد مودال سنگ را تشکیل می‌دهد. خردشده‌گی، خمیدگی ماکلی و ماکل پریکلین در کانی‌های پلازیوکلاز دیده می‌شود (شکل ۵ج). [۱۹] ماکل پریکلین را از نوع ماکل ثانویه در نظر گرفته و علت تشکیل آن را به لغزش ماکلی در خلال استرین و چرخش شبکه بلوری در جهت ماکلی نسبت داده است. آمفیبول حدود ۱۰-۲۰ درصد مودال سنگ را تشکیل می‌دهد و به صورت ریز بلور تا درشت بلور در این سنگ‌ها تشکیل شده است (شکل ۵ج). کانی‌های آمفیبول به صورت بی‌شکل، جهت‌یافته و کشیده در این سنگ‌ها مشاهده می‌شوند. در برخی از نمونه‌ها هورنبلند در امتداد رخ بلوری و شکستگی‌ها توسط بیوتیت ثانویه و دانه‌ریز جایگزین شده است. بافت مورtar در برخی از نمونه‌ها مشاهده می‌شود (شکل ۵ث). بافت غالب این سنگ‌ها میلونیتی می‌باشد (شکل ۵ج-خ).

**ب- استوک آلکالی گرانیت‌وئید:** استوک آلکالی گرانیت‌وئید در طی الیگوسن به داخل سنگ‌های کرتاسه و ائوسن نفوذ کرده و شامل انواع سنگ‌های آلکالی فلدسبار گرانیت، گرانوپوریت، کوارتز دیوریت و دایک‌های آپلیتی می‌باشد.

**- آلکالی فلدسبار گرانیت:** این سنگ‌ها تحت شرایط تکتونیک فعال و گسل‌خوردگی که در منطقه وجود داشته میلونیتی شده‌اند (شکل ۵الف). پتاسیم فلدسبار در حدود ۴۵-۵۵ درصد و کوارتز در حدود ۲۰-۳۰ درصد مودال سنگ را تشکیل می‌دهند. آلکالی فلدسبار به صورت پرتیت لکه‌ای، پرتیت رشته‌ای و میکروکلین پرتیت مشاهده می‌شود (شکل ۵الف-ب). کوارتز در اندازه دانه ریز تا دانه درشت بوده و خاموشی موجی نشان می‌دهد. کوارتز شدیداً خرد شده و به شکل نواری نیز تشکیل شده است (شکل ۵پ-ت). دانه‌های ریز کوارتز شکستگی‌های کانی‌های دیگر نظیر پلازیوکلاز و پتاسیم



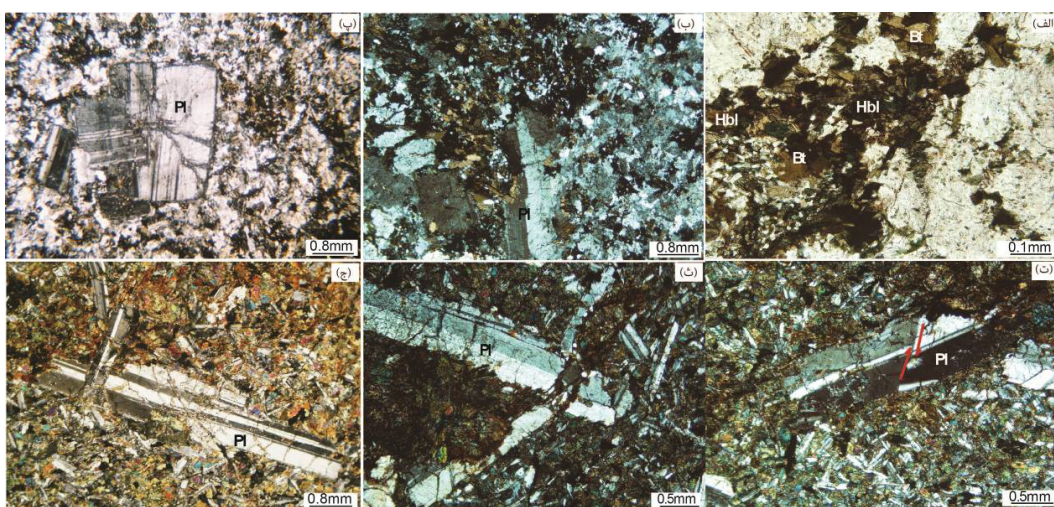
شکل ۵. پتروگرافی آلکالی فلدسبار گرانیت: (الف) پرتیت رگه‌ای با بافت میلونیتی (XPL)، (ب) میکروکلین پرتیت غیر یکنواخت در آلکالی فلدسبار گرانیت میلونیتی شده (XPL)، (پ) کوارتز با خاموشی موجی در بافت میلونیتی (XPL)، (ت) کوارتز نواری (XPL)، (ث) شکستگی در پلازیوکلاز و کوارتز با بافت مورtar (XPL)، (ج) خمیدگی کلیواز در پلازیوکلاز (XPL)، (ج) هورنبلند در آلکالی فلدسبار گرانیت (XPL)، (ح) تبلور مجدد کوارتز دانه ریز و بافت میلونیتی در آلکالی فلدسبار گرانیت (XPL)

شکستگی‌ها توسط کانی‌های فرو منیزین پر شده است (شکل ۶-ت). پیروکسن و آمفیبول از کانی‌های مهم آهن و منیزیومدار در این سنگ‌ها می‌باشند که تقریباً ۴۵ درصد مودال سنگ را تشکیل می‌دهند. کوارتز در مقادیر کمتر تا ۷ درصد مشاهده می‌شود. کانی‌های فرعی شامل پتاسیم فلدسپار، بیوتیت دانه‌ریز و ایلمنیت است. بافت غالب در این سنگ‌ها، پورفیروئید با کانی‌های دانه درشت پلازیوکلاز در زمینه ریز بلور می‌باشد (شکل ۶-ج).

**- دایک‌های آپلیتی:** آپلیت به صورت رگه و با ضخامت تا چندین سانتی‌متر در داخل درز و شکاف‌های سنگ‌های اطراف تزریق شده‌اند. بافت این سنگ‌ها میکروگرانولار یا آپلیتی با بلورهای دانه‌ریز و بی‌شکل می‌باشد. کانی‌های اصلی تشکیل‌دهنده شامل کوارتز، ارتوکلاز و پلازیوکلاز می‌باشد. کوارتز حدود ۵۰ درصد مودال سنگ را تشکیل می‌دهد. بلورهای کوارتز به علت اعمال استرس‌های بعد از تبلور دارای خاموشی موجی می‌باشند و در آن‌ها آثار خردش‌گی و تجدید مشاهده می‌شود به طوری که سنگ را می‌توان گرانیت میلیونیتی شده نیز در نظر گرفت. پتاسیم فلدسپار حدود ۴۰ درصد مودال سنگ را شامل می‌شود. پلازیوکلاز دارای ماکل پلی‌سنتتیک به صورت ریز بلور بوده و تقریباً حدود ۱۰ درصد مودال سنگ را تشکیل می‌دهد. کانی‌های ثانویه شامل اپیدوت، سریسیت و کانی‌های رسی حاصل دگرسانی فلدسپارها است.

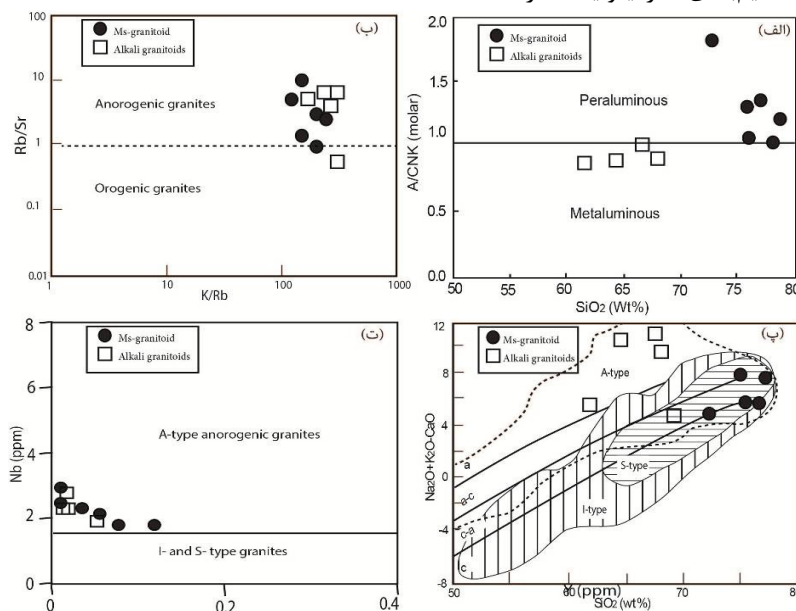
**- گرانوڈیوریت:** این سنگ‌ها مربوط به حاشیه توده آکالی گرانیت‌وئیدی می‌باشند. بیوتیت به صورت دانه‌ریز تا دانه متوسط با بلورهای بی‌شکل، فراوان ترین کانی تیره سنگ بوده به طوری که می‌توان این سنگ‌ها را بیوتیت گرانوڈیوریت نیز نامید. هورنبلند به رنگ سبز اکثراً به صورت مجتمع به همراه بیوتیت در زمینه سنگ دیده می‌شوند (شکل ۶ الف). بیوتیت و هورنبلند در مجموع ۲۵ درصد مودال سنگ را تشکیل می‌دهند. پلازیوکلاز تا اندازه ۲/۵ mm و با ماکل‌های پلی‌سنتتیک و پریکلین در برخی از سنگ‌ها مشاهده می‌شود و تقریباً حدود ۲۰ درصد مودال سنگ را تشکیل می‌دهد. کوارتز و پتاسیم فلدسپار بی‌شکل به صورت دانه‌ریز تا متوسط بترتیب حدود ۲۵ و ۳۰ درصد مودال این سنگ‌ها را تشکیل می‌دهند. کانی‌های تیره و تورمالین سبز از کانی‌های فرعی می‌باشند. سریسیت و اکسید آهن از کانی‌های ثانویه در این سنگ‌ها می‌باشند. بافت غالب در این سنگ‌ها بافت پورفیروئید است که در آن اغلب بلورهای درشت پلازیوکلاز در زمینه‌ای ریزبلور قرار گرفته‌اند (شکل ۶ ب-پ).

**- کوارتز دیوریت:** پلازیوکلاز حدود ۵۰-۵۵ درصد مودال سنگ را تشکیل می‌دهد و اندازه تقریبی آن تا ۵-۷ میلی‌متر می‌رسد. پلازیوکلاز دارای ماکل‌های پلی‌سنتتیک و پریکلین بوده و منطقه‌بندی نیز نشان می‌دهد. آثار شکستگی و جابجائی در این پلازیوکلازها به دلیل فشارهای برشی قابل مشاهده است. برخی از



شکل ۶. تصاویر میکروسکوپی گرانوڈیوریت و هورنبلند سبز در گرانوڈیوریت (PPL)، (ب) پلازیوکلاز در گرانوڈیوریت (XPL)، (پ) بافت پورفیروئید در گرانوڈیوریت (XPL)، (ت) شکستگی و جابجائی پلازیوکلاز در کوارتز دیوریت، (ث) پر شدگی شکستگی‌های پلازیوکلاز در کوارتز دیوریت (XPL)، (ج) بافت پورفیروئید در کوارتز دیوریت (XPL).

جایگاه تکتونیکی ارائه داده‌اند که در آن گرانیت‌وئیدها را در چهار گروه، گرانیت‌های رشته میان‌اقیانوس (ORG)، گرانیت‌های کمان آتشفسانی (VAG)، گرانیت‌های درون پلیتی (WAG) و گرانیت‌های همزمان با برخورد (Syn-) (ColG) تقسیم‌بندی کرده‌اند. بر اساس زمان جایگیری، توده‌های برخوردی به همزمان با برخورد (Post-Collision) تقسیم (Collision) و بعد برخورد (Post-Collision) می‌شوند. گرانیت‌های بعد برخورد می‌توانند بسته به نسبت ماجماهای مشتق شده از پوسته و گوشته در نواحی کمان آتشفسانی (Volcanic arc)، درون پلیتی (WP) یا همزمان با برخورد (Syn-Collision) قرار گیرند. همچنان گرانیت‌های بعد برخورد (Post-Collision) از گرانیت‌های (VAG) نمی‌توانند تشخیص داده شوند. کمان آتشفسانی (VAG) نمی‌توانند گرانیت‌وئیدها را مطالعه از نمودار  $Y$  در مقابل  $\text{SiO}_2$  [۱۷] استفاده شده است. تمامی نمونه‌های درون صفحه‌ای و پشت‌های اقیانوسی گرانیت‌وئیدهای درون صفحه‌ای و پشت‌های اقیانوسی (WPG+ORG) واقع می‌شوند (شکل ۸ الف). نمودارهای [۱۷] در مقابل  $\text{Nb}$  [۱۷] و  $\text{Rb}$  در مقابل  $\text{Y}$  در مقابل  $\text{Nb}$  [۱۷] و  $\text{Rb}$  در مقابل  $\text{Y}$  در مقابل  $\text{Nb}$  در مقابله با ویژگی درون صفحه‌ای گرانیت‌وئیدهای مورد مطالعه را تایید می‌کند (شکل ۸ ب-پ). در این نمودارها موقعیت درون صفحه‌ای از همزمان با برخورد تفکیک شده است.

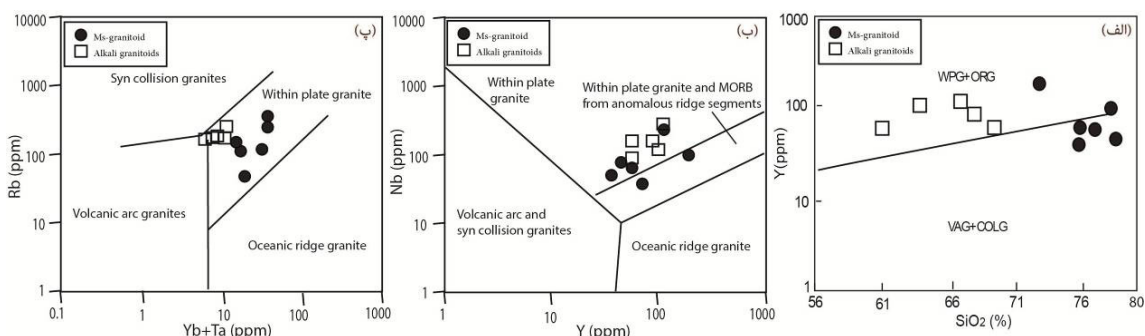


شکل ۷. (الف) در نمودار  $A/\text{CNK}$  در مقابل  $\text{SiO}_2$  نمونه‌های گرانیت و آلالی گرانیت‌وئید به ترتیب ویژگی پرآلومین و متآلومین را نشان می‌دهند، (ب) تمامی نمونه‌ها در نمودار  $\text{Rb}/\text{Sr}$  در مقابل  $\text{K}/\text{Rb}$  در نمودار  $\text{Rb}/\text{Sr}$  در نمودار  $\text{Y}$  در مقابل  $\text{Nb}$  در مقابله با ویژگی درون صفحه‌ای ویژگی درون صفحه‌ای و پشت‌های اقیانوسی (WPG+ORG) واقع می‌شوند (شکل ۸)، (پ) نمودار  $\text{Nb}$  در مقابل  $\text{Y}$  در مقابل  $\text{Nb}$  در مقابله با ویژگی درون صفحه‌ای گرانیت‌وئیدهای مورد مطالعه را تایید می‌کند (شکل ۸ ت). [۱۷] بر اساس عناصر فرعی  $\text{Nb}-\text{Y}-\text{Rb}$  نمودارهایی برای تقسیم‌بندی گرانیت‌وئیدها از لحاظ

### ژئوشیمی گرانیت‌وئیدهای سیاه منصور

در این بخش با استفاده از نتایج حاصل از تجزیه شیمیایی انواع گرانیت‌وئیدها به روش ICP-MS و XRF و رفتارهای ژئوشیمیایی عنصر اصلی و فرعی موجود در سنگ‌ها و ترکیب ماغمای سازنده و محیط تکتونیکی تشکیل آن‌ها مشخص شده است. نتایج تجزیه شیمیایی سنگ‌ها در جدول ۱ ارایه شده است. بر اساس درصد مولی A/CNK در مقابل ( $\text{wt}\%$ )  $\text{SiO}_2$  [۱۴] نمونه‌های موسکوویت گرانیت و آلالی گرانیت‌وئید بتربیت ویژگی‌های پرآلومین و متآلومین را نشان می‌دهند (شکل ۷ الف). در دیاگرام نسبت  $\text{K}/\text{Rb}$  در مقابل  $\text{Rb}/\text{Sr}$  [۹] تمامی نمونه‌ها به استثناء یک نمونه نسبت  $\text{Rb}/\text{Sr}$  بالاتر از یک داشته و با ویژگی گرانیت‌های غیر کوهزایی مطابقت نشان می‌دهند (شکل ۷ ب). در نمودار  $\text{Na}_2\text{O}+\text{K}_2\text{O}-\text{CaO}$  در مقابل  $\text{SiO}_2$  [۱۵] نمونه‌های موسکوویت گرانیت با ویژگی کلسیک و آهکی-قلایی و نمونه‌های آلالی گرانیت‌وئیدی با ویژگی آلالی در محدوده A-type واقع می‌شوند (شکل ۷ پ). نمودار عناصر فرعی  $\text{Y}$  در مقابل  $\text{Nb}$  در مقابل  $\text{Nb}$  [۲۲] ویژگی A-type و غیرکوهزایی گرانیت‌وئیدهای سیاه منصور را تایید می‌کند (شکل ۷ ت). [۱۷] بر اساس عناصر فرعی  $\text{Nb}-\text{Y}-\text{Rb}$  نمودارهایی برای تقسیم‌بندی گرانیت‌وئیدها از لحاظ

ویژگی A-Type و غیرکوهزایی نمونه‌های مورد مطالعه را تایید می‌کند.



شکل ۸. (الف-پ) دیاگرام‌های [۱۷] برای تعیین محیط تکتونیکی گرانیتوئیدهای سیاهمنصور

### - ارتباط دگرشکلی با تشکیل بافت‌های میرمکیت و

#### پرتیت در گرانیتوئیدهای سیاهمنصور

میرمکیت و پرتیت از بافت‌های ثانویه در گرانیتوئیدهای دگرشکل شده سیاهمنصور می‌باشند. به عقیده [۲۰] بافت میرمکیت در جاهایی تشکیل می‌شود که زون برشی، باعث خردشگی کانی‌های کوارتز و فلدسپار شده و سطح تماس کانی‌ها برای واکنش با محلول‌های سدیم‌دار و کلسیم‌دار را افزایش می‌دهد. [۲۰] نشان دادند که میرمکیت در قسمت‌هایی از بلورهای فلدسپار پتانسیم که تحت شرایط استرین چهار کوتاه شدگی شده‌اند نیز تشکیل شده است. [۱۹] نیز بافت میرمکیتی را با واقعی استرین در سنگ‌های گرانیتی مرتبط دانسته و معتقد است بافت میرمکیت معمولاً در سنگ‌هایی که چهار تغییر شکل مکانیکی شده و بافت مورtar از خود نشان می‌دهند ظاهر می‌شود.

پرتیت‌های لکه‌ای و رگه‌ای با ویژگی غبار آلود در ارتباط با سیالات دگرسانی و اینکلوژن‌های مایع تشکیل می‌شوند. با در نظر گرفتن حالت‌های لکه‌ای و رگه‌ای و هم‌چنین غیر یکنواخت بودن پرتیت در سنگ‌های مورد مطالعه، تشکیل آن‌ها در شرایط برشی در ارتباط با فشارهای تکتونیکی حاکم در منطقه بسیار محتمل بنظر می‌رسد. در اغلب پرتیت‌های درشت، جایگزینی متقابلی بین یون‌های  $K^+$  و  $Na^+$  بین فلدسپات‌پتانسیک (یا سدیک) و یک محلول غنی از سدیم (یا پتانسیم) صورت می‌گیرد [۲۱]. به علاوه ممکن است استرین تکتونیکی هم باعث اختلاط ناپذیری شده و بر جهت‌یافته ترجیحی تیغه‌های پرتیت اثر بگذارد [۱۹]. هر چند در نظریات دیگر [۱۳] پرتیت حاصل بلور هموژن فلدسپار در بالای منحنی سولولوس یا شرایط هیپرسولولوس در نظر گرفته می‌شود که شرایط پایین بودن فشار بخار آب در

### بحث و بررسی

#### - دگرشکلی گرانیتوئیدهای سیاهمنصور

شواهد کانی‌شناسی و بافتی حاکی از آن است که انواع سنگ‌های گرانیتوئیدی در منطقه مورد مطالعه (هم رگه‌های موسکوویت گرانیت داخل شیست‌ها و هم استوک آلکالی گرانیتوئید) تحت شرایط برشی و نیروهای تکتونیکی حاکم بر منطقه چهار دگر شکل شده و گرانیتوئیدهای میلیونیتی در این ارتباط تشکیل شده‌اند. اثرات دگرشکلی به دو صورت در سنگ‌های منطقه ثبت شده است:

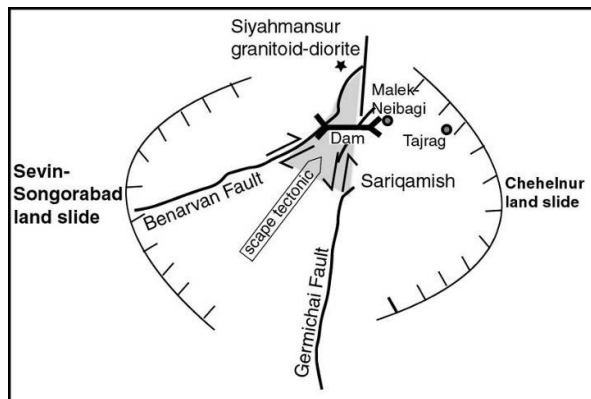
الف- دگرشکلی همزمان با تکتونیک: (a) خمیدگی شدید کلیواژ در میکاهای، (b) تشکیل نوارها یا روبان‌های کوارتز و تجدید تبلور کوارتزهای دانه ریز و خرد شده (اشکال پ-ت ۴)، (c) کوارتز پیچ و تاب خورده در اطراف فلدسپات‌های مقاوم‌تر با ساخت چشمی (شکل ۳-۴)، (d) بافت میرمکیت (شکل ۴-۴).

ب- دگرشکلی بعد از تکتونیک: در این حالت تأثیرپذیری از استرس‌های بعدی حاکم بر منطقه در شرایط پس از انجامد با ایجاد شکستگی، خردشگی‌های وسیع، جهت یافته‌گی و تبلور مجدد کانی‌ها همراه بوده است. برخی از شواهد این دگرشکلی عبارتند از: (a) خردشگی کانی‌های کوارتز، (b) خاموشی موجی در کوارتزهای خرد نشده، (c) خمث ماکلی پلازیوکلаз (شکل ۵)، (d) شکستگی در کانی‌های فلدسپار که منجر به قرارگیری قطعات کوچک‌تر در امتداد سطوح برشی شده است (شکل ۳-۵)، (e) شکستگی و جابجایی بلوری در مگاکریستهای پلازیوکلاز در امتداد زون برشی (شکل ۴-۶)، (f) ماکل ثانویه پریکلین در پلازیوکلاز حاصل لغزش ماکلی و تبدیل از یک حالت تقارن بالا به تقارن پایین (شکل ۴-۵)، بافت پرتیت (شکل الف-۵).



تشکیل شده باشند (شکل ۹). برای ارائه نتایج دقیق‌تر نیاز به مطالعات تکتونیک بیش‌تر در سنگ‌های منطقه می‌باشد.

در ارتباط با پهنه مثلثی شکل تکتونیک خروج یا فرار (extrusion or escape tectonics) [۶]، در محل تقاطع گسل‌های جنوب بزقوش (گسل بناروان) و گرمی‌چای



شکل ۹. مدل شماتیک از عملکرد ساختارهای دگریختی که باعث زمین لغزش و روراندگی سنگ‌ها در منطقه شده است را نشان می‌دهد. این پهنه مثلثی شکل، دگریختی از نوع تکتونیک فرار را نشان می‌دهد.

به پهنه مثلثی شکل تکتونیک خروج یا فرار در محل تقاطع گسل‌های جنوب بزقوش (گسل بناروان) و گرمی‌چای نسبت داد.

#### نتیجه‌گیری

- گرانیتوئیدهای سیاهمنصور براساس شواهد صحرایی، کانی‌شناسی و ژئوشیمیایی در دو گروه (الف) موسکوویت گرانیت و (ب) آلکالی گرانیتوئید دسته‌بندی شده‌اند.
- برونزد موسکوویت گرانیت محدود به دایک‌ها و رگه‌های موازی شیستوزیت سنگ‌های دگرگونی می‌باشد در صورتی که آلکالی گرانیتوئید از نوع استوک نفوذی بوده که سنگ‌های رسوبی و آتشفسانی کرتاسه و ائوسن را قطع کرده است.
- هر دو نوع گرانیتوئید تحت تاثیر تنش‌های برشی دچار دگرشکلی با تغییرات واضح و تبلور مجدد شده و گرانیتوئید میلیونیت‌ها در این ارتباط تشکیل شده‌اند.

**سپاسگزاری**  
نظرات سازنده داوران محترم مجله یافته‌های نوین زمین‌شناسی کاربردی باعث بهتر شدن این نوشتار گردید که از ایشان قدردانی می‌گردد.

- رگه‌های موسکوویت گرانیت با ویژگی پرآلومینوس و A-type و غیر کوه‌زایی حاصل ذوب بخشی سنگ‌های دگرگونی می‌باشند. این سنگ‌ها با دگرشکلی بسیار شدید هم‌زمان با تکتونیک فعال جایگیری شده‌اند. توده آلکالی گرانیتوئیدی دارای منشاء گوشه‌های، ماهیت متألومینوس و A-type می‌باشد.
- در ارتباط با جایگیری استوک آلکالی گرانیتوئیدی بنظر می‌رسد گسل خوردگی و شکستگی‌های حاصل از حرکات کششی بعد از بسته شدن و برخورد نئوتیس مرتبط با فاز کوه‌زایی آلبی ترشیاری در تشکیل آن تاثیرگذار بوده است. بنظر می‌رسد دگریختی‌های ثبت شده در استوک آلکالی گرانیتوئیدی سیاهمنصور را بتوان

#### منابع

- [۱] آفتابی، س.ع (۱۳۸۵) زمین‌شناسی ایران. انتشارات سازمان زمین‌شناسی و اکتشافات معدنی کشور.
- [۲] بهروزی، ا، امینی آذر، ر، عزیزان، ف، امامی، م، داوری، م، هادوی، ف، بغدادی، ا (۱۳۷۱) نقشه زمین‌شناسی سراب، مقیاس ۱/۱۰۰۰۰، سازمان زمین‌شناسی ایران.
- [۳] حاجی علیلو ب، رضایی ح، هاشم امامی م (۱۳۷۷) نقشه زمین‌شناسی ۱/۱۰۰۰۰ کیوی. سازمان زمین‌شناسی و اکتشافات معدنی ایران.
- [۴] شکاری اصفهان، ر (۱۳۸۹) بررسی پتروگرافی و پترولولوژی توده‌های نفوذی منطقه سیاه منصور (شمال شرق میانه). پایان‌نامه کارشناسی ارشد، دانشگاه تبریز، ۱۱۷ ص.
- [۵] علوی تهرانی ن، لطفی م، بوردت پ، سبزه‌ای م، بهروزی ا، حقی‌پور، ا، عمیدی م (۱۳۵۷) نقشه زمین‌شناسی ۱/۲۵۰۰۰ میانه. سازمان زمین‌شناسی و اکتشافات معدنی ایران.

- replacement by myrmekite. *Journal of Metamorphic Geology*, 7: 261 – 75.
- [21] Smith, J.V., Brown, W.L (1988) Feldspar minerals. 2<sup>nd</sup> edn (vol. 1), Springer-Berlag, Berlin, 828 pp.
- [22] Stern R.J., Gottfried D (1989) Discussion of the paper “Late Pan- African magmatism and crustal development in northeastern Egypt, *Geological Journal*, 24: 371–374.
- [23] Stocklin, J (1977) Structural correlation of the Alpine orogen between Iran and Central Asia. *Soc. Geol. Fr., Mem. Hors. Ser.* 8: 333-353.
- [۶] فریدی، م (۱۳۸۸) گزارش تکتونیکی سد گرمی چای شمال شرق میانه، مهندسین مشاور آشنا.
- [۷] لطفی، م (۱۳۵۴) بررسی‌های زمین‌شناسی و پترولولوژی منطقه شمال-شمال شرق میانه (آذربایجان خاوری). پایان نامه کارشناسی ارشد، دانشکده علوم دانشگاه تهران، ایران.
- [۸] نبوی، م. ح (۱۳۵۵) دیباچه‌ای بر زمین‌شناسی ایران، سازمان زمین‌شناسی کشور، تهران، ۱۰۹ ص.
- [9] Abdel-Rahman A.M, El-Kibbi M.M (2001) Anorogenic magmatism: chemical evolution of the Mount El-Sibai A-type complex (Egypt), implications for the origin of Within-Plate Felsic magmas, *Geological Magazine*, 138:67–85.
- [10] Barbarin, B (1983) Les granites carbonifères du Forez Septentrional (Massif central français). Typologie et relations entre les différents massifs. Thesis, Univ. Clermont Ferrand II, 177 pp.
- [11] Berberian, M (1997) Seismic sources of the Transcaucasian historical earthquakes. Historical and Prehistorical Earthquakes in the Caucasus, In: D. Giardini and S. Balassanian (eds.), NATO Asi Series, 2. Environment, Vol. 28, Kluwer Academic Publishers, the Netherlands, 233-311.
- [12] Berberian, M., King, G.C.P (1981) Towards a paleogeographical and tectonics evolution of Iran. Canadian رم
- [13] Bowen, N.L., Tuttle, O.F (1950) The system NaAlSi<sub>3</sub>O<sub>8</sub>-KAlSi<sub>3</sub>O<sub>8</sub>-H<sub>2</sub>O. *Journal of Geology*, 58: 489-551.
- [14] Chappell, B.W., White, A.J.R (1974) Two contrasting granite types. *Pacific Geology*, 8: 173–174.
- [15] Frost, B.R., Arculus, R.J., Barnes, C.G., Collins, W.J., Ellis, D.J., Frost, C.D (2001) A geochemical classification of granitic rocks. *Journal of Petrology*, 42:2033-2048.
- [16] Kretz, R. (1983) Symbols for rock forming minerals. *American Mineralogist*, 68: 277-279.
- [17] Pearce J.A., Harris N.B.W., Tindle A.G (1984) Trace element discrimination diagrams for the tectonic interpretation of granitic rocks. *Journal of Petrology*, 25: 956-983.
- [18] Pearce, J.A (1996) A user's guide to basalt discrimination diagrams. In: Wyman, D. A. (ed.) *Trace Element Geochemistry of Volcanic Rocks: Applications for Massive Sulphide Exploration*. Geological Association of Canada, Short Course Notes 12: 79–113.
- [19] Shelly, D (1993) Igneous and metamorphic rocks under the microscope. Capman and Hall, 405pp.
- [20] Simpson, C., Wintsch, R.P (1989) Evidence for deformation-induced K-feldspar

## Petrography and microtextural investigations of the deformed Siyahmansur granitoids from NE Miyaneh, East Azerbaijan province

**R. Hajialioghli<sup>\*1</sup> and R. Shekari Esfahanl<sup>2</sup>**

1,2- Dept. of Earth Sciences, Faculty of Natural Sciences, University of Tabriz, Tabriz

\* hajialioghli@tabrizu.ac.ir

**Received: 2015/8/19 Accepted: 2016/2/6**

### **Abstract**

The Siyahmansur area is located at southeastern end of the Bozgush mountain ranges in the Alborz-Azerbaijan zone. On the basis of field evidence, mineralogy and geochemistry the investigated granitoids can be classified as two types (a) Ms-granitoids, (b) alkali-granitoids. Outcropping of Ms-granite is limited to dykes and veins parallel to the metamorphic schistosity. Alkali-granitoid rocks are cropped out as a stock which is intruded in to the Cretaceous and Eocene sediments and volcanic rocks during Oligocene. Both granitoid types are deformed under strain tectonic condition and mylonite granitoids are formed in this regards. Mus-granites having peraluminous, A-type and anorogenic characteristics have been resulted from partial melting of metamorphic schists. Mus-granites recording extensive deformations are most probably emplaced under active tectonic conditions. Alkali-granitoid intrusion originated from mantle source are characterized as metaluminous and A-type granitoids. Concerning to the alkali-granitoids it seems they are emplaced due to faulting and fracturing related to decompression processes after closing and collision of Neotethys during Alpine orogenic phase on Tertiary. On the basis of the recorded deformations on Siyahmansur alkali-granitoids it seems that they can be attributed to extrusion or escape tectonics in the intersections of southern Bozgush (Benarvan fault) and Germichai Faults.

**Keywords:** petrography, microtextural, granitoid, Siyahmansur, Miyaneh.